

05.02.08

6

МИНИСТЕРСТВО ВЫСШЕГО И СРЕДНЕГО СПЕЦИАЛЬНОГО  
ОБРАЗОВАНИЯ СССР

ЧЕЛЯБИНСКИЙ ПОЛИТЕХНИЧЕСКИЙ ИНСТИТУТ  
им. ЛЕНИНСКОГО КОМСОМОЛА

На правах рукописи

РАЙТ Вальтер Вильгельмович

ПОВЫШЕНИЕ ПРОИЗВОДИТЕЛЬНОСТИ ПРОЦЕССА ПЛОСКОГО ТОРЦОВОГО  
ШЛИФОВАНИЯ КРУГАМИ НА БАКЕЛИТОВОЙ СВЯЗКЕ

Специальность 05.02.08 - "Технология машиностроения"

А В Т О Р Е Ф Е Р А Т

диссертации на соискание ученой степени  
кандидата технических наук

Челябинск - 1981

ЧПИ

Работа выполнена в Уральском филиале Всесоюзного научно-исследовательского института абразивов и шлифования и на кафедре "Технология машиностроения" Челябинского политехнического института имени Ленинского комсомола.

Научный руководитель - доктор технических наук, профессор Корчак С.Н.

Официальные оппоненты - доктор технических наук, профессор КОРОЛЕВ А.В.,  
кандидат технических наук МУБАРАКШИН Р.М.

Ведущее предприятие - Московское производственное объединение автоматических линий имени 50-летия СССР.

Защита диссертации состоится 26 июня 1981 года, в 14 часов, на заседании Специализированного совета К053.13.01 Челябинского политехнического института имени Ленинского комсомола, по адресу: 454044, г. Челябинск, пр-т им. В.И. Ленина, 76.

С диссертацией можно ознакомиться в библиотеке Челябинского политехнического института.

Ваши отзывы на автореферат в двух экземплярах, заверенных печатью, просим выслать по указанному адресу.

Автореферат разослан " \_\_\_\_\_ 1981 г.

Ученый секретарь  
Специализированного совета,  
кандидат технических  
наук, доцент

В.М. МЕНЬЯКОВ



## ОБЩАЯ ХАРАКТЕРИСТИКА РАБОТЫ

**Актуальность.** Повышение качества деталей машин при максимальной производительности их изготовления определяет, в конечном счете, эффективность технологических процессов в машиностроении.

В последнее десятилетие в машиностроении (особенно на предприятиях с крупносерийным и массовым производством) получает развитие высокопроизводительный вид шлифования - шлифование плоских поверхностей деталей торцом круга. Ввиду большой площади и длительности контакта круга с деталью, этот вид шлифования характеризуется высокой теплонапряженностью, что является определяющим фактором при формировании физико-механических свойств обработанных поверхностей.

Необходимость обеспечения заданного качества поверхностного слоя часто заставляет ограничивать режимы шлифования, что прямым образом отражается на производительности обработки.

Достижения последних лет в области снижения теплонапряженности процессов шлифования не решают в полной мере проблемы высокопроизводительного бездефектного шлифования торцом круга. Так, наиболее эффективным способом снижения теплонапряженности процесса является применение высокопористых шлифовальных кругов, которые используются на операциях шлифования периферией круга на керамической связке.

В области торцевого шлифования с применением высокопористых кругов на бакелитовой связке пока не было исследований, а прямое использование здесь рекомендаций, предназначенных для шлифования периферией круга, невозможно, в силу особенностей этого вида абразивной обработки. Высокопористые круги на бакелитовой связке для торцевшлифования до настоящего времени абразивной промышленностью не выпускались.

В связи с изложенным, задачи создания практических рекомендаций по изготовлению и применению высокопористых шлифовальных кругов на бакелитовой связке, основанных на комплексном исследовании показателей процесса плоского торцевого шлифования, с учетом основных технологических факторов этого процесса, являются актуальными.

**Цель работы** состоит в том, чтобы на основе исследований влияния структуры высокопористого круга на контактную температуру

и другие показатели процесса плоского торцевого шлифования разработать методику расчета структуры круга и режимов шлифования по заданным технологическим условиям, применение которой позволит повысить производительность и качество обработки.

Для достижения поставленной цели в работе решались следующие основные задачи.

1. Разработка способа изготовления высокопористых шлифовальных кругов на бакелитовой связке.

2. Построение на базе теории теплопроводности температурной задачи применительно к плоскому торцевому шлифованию и вывод ее численного решения с использованием структуры круга в качестве управляемого параметра.

3. Разработка инженерной методики определения структуры круга по условиям шлифования и температурному критерию.

4. Промышленные испытания и внедрение результатов исследований.

Общая методика исследований. Для достижения поставленной цели в данной работе принят аналитически-экспериментальный метод, применяемый обычно при решении прикладных задач в технике. На базе теоретического анализа температуры в зоне контакта круга с деталью построена тепловая математическая модель процесса плоского торцевого шлифования, учитывающая все основные факторы процесса, включая новый фактор (ранее не учитываемый) – структуру шлифовального круга.

Создание способа изготовления высокопористых шлифовальных кругов на бакелитовой связке и комплексное исследование их физико-механических и эксплуатационных свойств с получением уравнений регрессии, отражающих количественную связь входных параметров (структуре круга, режимов и прочих условий шлифования) с выходными (силы резания, износ круга, шероховатость обработанной поверхности и др.) позволили на базе теории теплопроводности получить численное решение температурной задачи.

Используя численное решение температурной задачи и полученные зависимости показателей процесса торцевшлифования, которые выступают в качестве технологических ограничений, построена методика расчета оптимальных условий процесса плоского торцевого шлифования деталей из стали ШХ15.

Научная новизна. 1. Впервые предложена тепловая математическая модель процесса плоского торцевого шлифования и выведено численное решение температурной задачи, учитывающее все основные факторы процесса, в том числе - параметры структуры круга.

2. Исследованы и представлены в виде уравнений регрессии зависимости основных технологических показателей процесса плоского торцевого шлифования высокопористыми кругами на бакелитовой связке от параметров режимов шлифования и структуры круга.

3. На основе численного решения температурной задачи, выведенного на базе теории теплопроводности, и полученных эмпирических зависимостей физико-механических и эксплуатационных свойств высокопористых кругов от их структуры, разработана методика расчета структуры круга и режимов бесприжогового шлифования стали ШХ15 по температурному критерию и технологическим условиям плоского торцевого шлифования.

Практическая ценность. Разработан способ изготовления высокопористых шлифовальных кругов на бакелитовой связке (а.с. № 686863), по которому часть шлифматериала в рецептуре (до 30%) заменяется порообразователем, в результате чего сокращается расход абразивных материалов при изготовлении абразивного инструмента.

Разработанный способ определения структуры абразивного инструмента без нарушения его целостности (положительное решение ВНИИГПЭ по заявке № 26730II от 16.10.78) позволяет контролировать и определять структуру круга при его изготовлении и эксплуатации.

Применение высокопористых шлифовальных кругов по разработанной методике оптимизации технологических параметров процесса позволяет повысить производительность бесприжогового шлифования деталей из стали ШХ15 до 2-х раз.

Реализация работы. Технология изготовления высокопористых кругов на бакелитовой связке для торцевшлифования внедрена на Златоустовском опытном абразивном заводе. Опытные и промышленные партии высокопористых кругов прошли испытания в производственных условиях ряда машиностроительных предприятий (ГПЗ-1, ГПЗ-3, ГПЗ-18, Авто-ВАЗ и МосЗАЛ) и рекомендованы к промышленному применению.

Процессы шлифования торцов колец подшипников высокопористыми

кругами, внедренные на ГПЗ-И и МосЗАЛ, экспонировались в составе автоматического комплекса в 1977 г. на ВДНХ СССР; разработчик удостоен медали выставки.

Апробация работы. Основные результаты диссертационной работы докладывались на Всесоюзной научно-технической конференции "Пути повышения производительности, качества и эффективности процессов абразивной, алмазной и эльборной обработки в машиностроении" (г. Москва, 1976 г.), на 5-й Всесоюзной конференции "Теплофизика технологических процессов" (г. Волгоград, 1980 г.) и на зональном научно-исследовательском семинаре "Современный абразивный инструмент и методы повышения эффективности процессов шлифования" (г. Челябинск, 1980 г.).

Диссертация в целом докладывалась и обсуждалась на заседании научно-технического совета УралВНИИАШ и на заседании кафедры "Технология машиностроения" Челябинского политехнического института имени Ленинского комсомола (ноябрь-декабрь, 1980 г.).

Публикация. По материалам диссертации опубликовано 10 работ.

Структура и объем работы. Диссертация состоит из введения, семи глав, общих выводов, приложений и списка литературы. Работа изложена на 125 страницах машинописного текста, содержит 49 рисунков, 22 таблицы, список литературы из 190 наименований и приложения на 36 страницах. Общий объем работы - 235 страниц.

## ОСНОВНОЕ СОДЕРЖАНИЕ РАБОТЫ

Большое многообразие применяемых схем и наладок при торцевом шлифовании, выявленное в результате изучения свыше 100 операций на 30-ти машиностроительных предприятиях, по способу базирования детали можно объединить в два типа:

- двустороннее шлифование без закрепления детали в приспособлении с совмещенными базовыми и обрабатываемыми поверхностями;
- одно- или двустороннее шлифование с жестким закреплением детали в приспособлении по базовым поверхностям.

При шлифовании по второй схеме деталь, закрепленная в приспособлении, лишена свободы перемещения под действием сил резания (как по первой схеме) и опасность прижогов здесь выше. Поэтому при торцевом шлифовании с закреплением детали в приспособлении используют обычно более мягкие круги и низкие режимы.

Основные особенности плоского торцового шлифования – большая площадь и длительность контакта круга с деталью, неблагоприятные условия подачи СОЖ и удаления стружки из зоны контакта. Эти особенности обуславливают основной отличительный признак торцового шлифования, заключающийся в высокой интенсивности и теплонапряженности процесса, что является причиной возникновения шлифовочных дефектов (прижогов и трещин) на деталях.

В технике известен ряд способов снижения теплонапряженности шлифования: вымачивание бакелитовых кругов в содовом растворе для снижения их твердости, применение усовершенствованных составов СОЖ и способов их подачи в зону резания, применение кругов с прерывистой рабочей поверхностью, применение сборных кольцевых ступенчатых кругов и другие.

Каждый из перечисленных способов снижения теплонапряженности процесса торцового шлифования может быть использован с учетом конкретных условий процесса, но ни один из них не нашел широкого промышленного применения по причинам либо сложности реализации и управления процессом, либо по причинам возникновения побочных отрицательных явлений (снижение стойкости абразивного инструмента, снижение точности шлифования, вибрации и др.).

Эффективным способом снижения температуры шлифования является применение высокопористых шлифовальных кругов. Однако обширный исследовательский материал о шлифовании высокопористыми кругами относится исключительно к кругам на керамической связке при шлифовании периферией круга. Полное отсутствие в технической литературе сведений о торцовом шлифовании высокопористыми кругами объясняется отсутствием экономичных способов их изготовления.

## I. ТЕОРЕТИЧЕСКАЯ ПРЕДПОСЫЛКА

Температура в поверхностном слое шлифуемой детали формируется в результате последовательного наложения тепловых импульсов от отдельных абразивных зерен, действующих через определенный временной интервал. Если допустить, что в круге обычной структуры абразивные зерна расположены на равном расстоянии друг от друга и плотность теплового потока от действия каждого источника одинакова, то температуру в поверхностном слое детали можно рассчитать по известному выражению в критериальной (безразмерной) форме:

$$\Theta = \sum_{K=0}^{n-1} \sqrt{\beta - K} \operatorname{erfc} \frac{\delta}{\sqrt{\beta - K}} H(\beta - K) - \\ - \sqrt{\beta - \alpha - K} \operatorname{erfc} \frac{\delta}{\sqrt{\beta - \alpha - K}} H(\beta - \alpha - K). \quad (I)$$

Здесь

$$\alpha = \frac{t}{T} \text{ - безразмерное время импульса;}$$

$$\delta = \frac{y}{\sqrt{4\alpha T}} \text{ - безразмерная глубина;}$$

$$\beta = \frac{T}{T} \text{ - безразмерное текущее время;}$$

$$\Theta = \frac{U \lambda}{2\sqrt{\alpha T}} \text{ - безразмерная температура;}$$

$$H(z) \begin{cases} 0, z < 0 \\ 1, z \geq 0 \end{cases} \text{ - функция Хевисайда.}$$

Для расчета температурного поля при шлифовании высокопористым кругом, на рабочей поверхности которого блоки равнораспределенных абразивных зерен чередуются с крупными искусственными порами, можно использовать выражение (I), приняв за тепловой источник действие не отдельных абразивных зерен, а блоков зерен, скрепленных связкой. На рис. I представлены температурно-временные кривые "ощущений" в точке, лежащей на поверхности детали, при шлифовании кругом обычной структуры (кривая 1) и высокопористым кругом (кривая 2).

Величина (протяженность) режущих блоков зерен прямым образом связана с объемным содержанием шлифматериала в круге ( $V_3$ ). Кроме того, при шлифовании с самозатачиванием высокопористого круга величина режущего блока зависит от прочности удержания абразивных зерен в блоке, которая, в свою очередь, зависит от количества связки в единице объема круга.

Степень охлаждения элементарного участка на поверхности детали после прохождения через него очередного режущего блока зависит от промежутка времени между действием соседних тепловых источников, а также условий теплоотдачи в охлаждающую среду и теплофизических свойств обрабатываемого материала. Временная протяженность пауз между действиями отдельных режущих блоков и число этих пауз прямым образом связаны с размером и количеством пор в круге ( $V_{11}$ ).

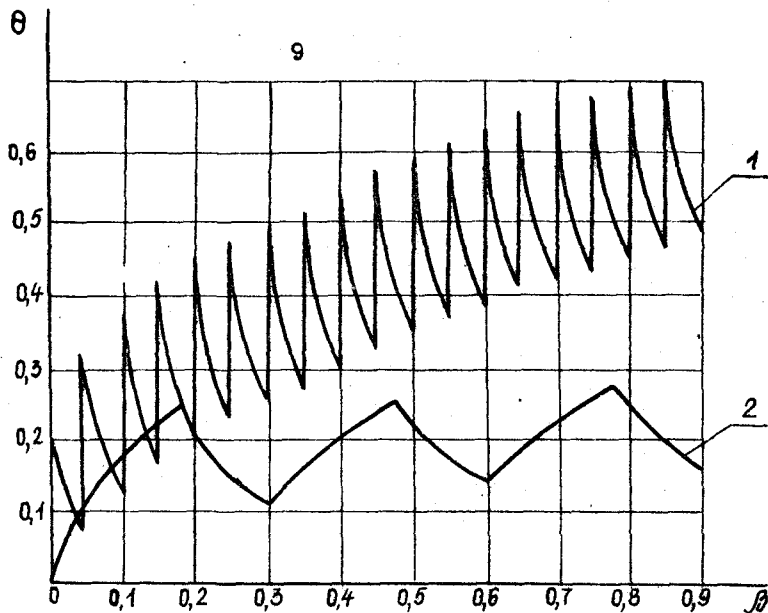


Рис. I. Температура  $\theta$  в функции времени  $\beta$  (безразмерные критерии) при шлифовании кругом обычной структуры (кривая 1) и высокопористым кругом (кривая 2).

Тепловую модель процесса шлифования можно представить в самом общем виде как функцию

$$T(x, y, z, \tau) = F(A, B, C, D, E),$$

где  $T(x, y, z, \tau)$  - температура детали в точке с координатами  $x, y, z$  в момент времени  $\tau$ ;

**A** - параметры детали (геометрические и теплофизические);

**B** - температурные условия (начальные и граничные);

**C** - параметры режимов шлифования;

**D** - геометрические параметры круга;

**E** - параметры структуры круга.

Таким образом, при определенных условиях шлифования теплонапряженность процесса определяется соотношением объемного содержания зерна ( $V_3$ ), связки ( $V_C$ ) и пор ( $V_p$ ), т.е. структурой шлифовального круга.

Разработка способа изготовления высокопористого шлифовального круга с управляемой в широком диапазоне структурой и введение параметров структуры круга в тепловую математическую модель позволяют управлять теплонапряженностью процесса шлифования в широких пределах. Задаваясь температурным критерием и прочими исходными параметрами процесса, можно определять и назначать структуру круга для бездефектного (бесприжогового) шлифования.

## 2. СТРУКТУРА И СВОЙСТВА ВЫСОКОПОРИСТЫХ КРУГОВ НА БАКЕЛИТОВОЙ СВЯЗКЕ

Сущность способа изготовления высокопористого шлифовального круга заключается в том, что определенная часть абразивных зерен в круге при приготовлении абразивно-бакелитовой смеси для формования изделия заменяется порообразователем. В качестве порообразователя используются гранулы хлористого калия размером от 200 до 1000 мкм (а.с. 686863), которые в процессе шлифования с охлаждающей жидкостью легко растворяются в СОЖ, образуя дополнительные поры на рабочей поверхности круга.

С использованием математического планирования эксперимента определены основные физико-механические свойства высокопористых кругов в зависимости от структуры: объемного содержания шлифматериала ( $V_3$ ), связки ( $V_C$ ) и пор ( $V_p$ ). Полученные зависимости твердости ( $h$ ), прочности при растяжении ( $\sigma_b$ ), скорости прохождения ультразвуковых импульсов ( $C$ ) и плотности абразивных изделий ( $\gamma$ ) от их структуры аппроксимированы степенными функциями:

$$h = 3150 V_3^{-0.45} V_C^{-1.53}; \quad (2)$$

$$\sigma_b = 7532 V_3^{0.75} V_C^{1.15}; \quad (3)$$

$$C = 206.4 V_3^{0.35} V_C^{0.40}; \quad (4)$$

$$\gamma = 0.477 V_3^{0.32} V_C^{0.08}. \quad (5)$$

## II

Допустимая рабочая скорость круга по условию его прочности с учетом коэффициента запаса прочности  $[П_б] = 3,4$

$$[V] = \frac{3,72 V_3^{0,22} V_c^{0,54}}{\sqrt{1 + \frac{Z_{KP}}{R_{KP}} + \left(\frac{Z_{KP}}{R_{KP}}\right)^2}} \quad (6)$$

где  $R_{KP}$  и  $Z_{KP}$  - наружный радиус и радиус отверстия круга, соответственно.

На основании проведенных исследований зависимостей физико-механических свойств шлифовальных кругов от их структуры разработан новый способ определения структуры абразивного инструмента (заявка на изобретение № 2673011 с положительным решением ВНИИПИЭ от 28.05.79).

Сущность способа основана на использовании известных зависимостей каких-либо (по крайней мере двух) физико-механических свойств от структуры абразивного инструмента. Структура круга определяется решением системы двух уравнений, например,

$$\begin{cases} h = 3150 V_3^{-0,45} V_c^{-1,53} \\ C = 206,4 V_3^{0,35} V_c^{0,40} \end{cases} \quad (7)$$

Подставив в выражение (7) полученные путем измерений значения  $h$  и  $C$ , получаем значения параметров структуры: объемное содержание шлифматериала  $V_3$ , связки  $V_c$  и пор  $V_p = 100 - (V_3 + V_c)$ , %.

Создание новых способов изготовления высокопористых кругов в сочетании со способом определения их структуры позволяет проектировать структуру абразивного инструмента с заданными свойствами

### 3. ЧИСЛЕННОЕ РЕШЕНИЕ ТЕМПЕРАТУРНОЙ ЗАДАЧИ

Учитывая наиболее существенные признаки процесса плоского торцового шлифования высокопористыми кругами с регулируемой структурой и вводя определенные допущения, тепловую задачу можно сформулировать следующим образом.

На поверхность полубесконечного тела, имеющего равную во всех точках начальную температуру, одновременно действуют два типа источников: тепловой источник  $\dot{Q}$  - результат механического взаимодействия круга с деталью и температурный сток  $\dot{T}$  - результат действия охлаждающей среды, находящейся в порах круга. На бесконечном удалении от поверхности тела тепловой поток равен нулю, а температура  $T_0$  постоянна.

Математическая интерпретация сформулированной задачи есть уравнение теплопроводности с краевыми условиями. Ввиду того, что глубина прогреваемого слоя детали намного меньше ширины детали, тепловая задача сводится к решению дифференциального уравнения теплопроводности с одномерным потоком

$$\frac{\partial T(y, \tau)}{\partial \tau} = \frac{\partial^2 T(y, \tau)}{\partial y^2} \alpha,$$

при краевых условиях

$$T(y, 0) = T_0, \quad (8)$$

$$-\lambda \frac{\partial T}{\partial y}(+0, \tau) = \alpha(\tau) \left[ T(-0, \tau) - T(+0, \tau) + \frac{Q(\tau)}{\alpha(\tau)} \right],$$

$$T(\infty, \tau) = T_0, \quad \frac{\partial T(\infty, \tau)}{\partial y} = 0.$$

Решая задачу (8) методом функции Грина, получаем общий вид решения температурной задачи:

$$T(y, \tau) = T_0 + \left( T_{0xh} - T_0 + \frac{Q}{\alpha} \right) \left[ \operatorname{erfc} \frac{y}{\sqrt{4\alpha\tau}} - \operatorname{erfc} \frac{0}{\sqrt{4\alpha\tau}} + \frac{\alpha}{\lambda} \sqrt{\alpha\tau} \exp \left( \frac{\alpha y}{\lambda} + \frac{\alpha^2 \alpha \tau}{\lambda^2} \right) \right]. \quad (9)$$

Для численного решения выражения (9) плотность теплового потока  $Q$  и коэффициент теплоотдачи  $\alpha$  необходимо представить в виде функций от параметров режимов шлифования, структуры круга и других условий шлифования.

Плотность теплового потока рассчитывается через тангенциальную силу резания  $P_Z$ , которая определена экспериментально в зависимости от режимов шлифования стали ШХ15 и структуры круга.

$$Q = \frac{8,06}{R_{kp} - Z_{kp}} V_3^{0,87} V_c^{1,4} U_{kp,p}^{0,6} \left( t_g U_g B_g \right)^{0,5} \frac{R_{kp} + Z_{kp}}{2 R_{kp}}. \quad (10)$$

Зависимость коэффициента теплоотдачи в СОЖ, находящейся в порах, от структуры круга представлено выражением

$$\alpha = 3,1 \cdot 10^{10} V_3^{-3,59} V_c^{-1,65} \quad (II)$$

Подставив (10) и (II) в (9) с учетом

$$\tau = \frac{R_{kp} - Z_{kp}}{2 U_g}, \quad (12)$$

получаем температурную математическую модель процесса плоского торцового шлифования, выраженную через исходные и управляемые параметры реального процесса:

$$T(y) = T_0 + \left[ T_{axl} - T_0 + \frac{2,6}{(R_{kp} - Z_{kp}) 10^{10}} V_3^{4,46} V_c^{3,05} \left( t_g U_g B_g \right)^{0,5} \times \right. \\ \left. \times U_{kp,p}^{0,6} \frac{R_{kp} + Z_{kp}}{2 R_{kp}} \right] \left\{ \operatorname{erfc} \frac{y}{\sqrt{4} \alpha \frac{R_{kp} - Z_{kp}}{2 U_g}} - \operatorname{erfc} \left( \frac{y}{\sqrt{4} \alpha \frac{R_{kp} - Z_{kp}}{2 U_g}} + \right. \right. \\ \left. \left. + \frac{3,1 \cdot 10^{10} \sqrt{\alpha \frac{R_{kp} - Z_{kp}}{2 U_g}}}{\lambda V_3^{3,59} V_c^{1,65}} \right) \exp \left[ \frac{3,1 \cdot 10^{10} y}{\lambda V_3^{3,59} V_c^{1,65}} + \left( \frac{3,1 \cdot 10^{10}}{\lambda V_3^{3,59} V_c^{1,65}} \right)^2 \right. \right. \\ \left. \left. \times \frac{R_{kp} - Z_{kp}}{2 R_{kp}} \right] \right\}. \quad (13)$$

Если пренебречь теплоотдачей в СОЖ, а также принять  $U_g = 0$  и  $T_0 = 0$ , то выражение (13) существенно упрощается и становится вполне пригодным для практических расчетов:

$$T(y=0) = \frac{8,06(R_{kp} - Z_{kp})}{(R_{kp} - Z_{kp}) \lambda R_{kp}} \sqrt{\frac{\alpha (R_{kp} - Z_{kp})}{2 \pi U_g}} V_3^{0,87} V_c^{1,4} Q_g^{0,5} U_{kp,p}^{0,6}, \quad (14)$$

где  $\lambda, \alpha$  - коэффициенты теплопроводности и температуропроводности материала детали;

$R_{kp}, Z_{kp}$  - наружный и внутренний радиусы круга, м;

$U_{kp.p}$  - скорость круга на периферии, м/с;

$U_g$  - скорость детали, м/с;

$Q_g = t_g U_g V_g$  - объемная подача детали,  $\frac{\text{см}^3}{\text{мин}}$ ;

$V_3, V_c$  - объемное содержание зерна и связки в круге, %.

Расчет температуры без учета теплоотдачи в СОЖ (14) дает отклонение в результатах от 1 до 7%.

Анализ температурной модели процесса плоского торцевого шлифования показывает, что как параметры структуры круга, так и параметры режимов шлифования существенно влияют на температуру детали, поэтому они могут быть использованы в качестве параметров управления теплонапряженностью процесса шлифования.

#### 4. ПОКАЗАТЕЛИ ШЛИФОВАНИЯ В ЗАВИСИМОСТИ ОТ СТРУКТУРЫ КРУГА

Реализация и статистическая обработка результатов экспериментов, проведенных на специальном торцевом шлифовальном стенде, позволили получить ряд эмпирических зависимостей показателей шлифования от структуры круга и режимов шлифования. Полученные зависимости аппроксимированы степенными функциями:

- удельная тангенциальная сила резания

$$P_z = 124 V_3^{0.87} V_c^{1.40} U_{kp.p}^{-0.40} Q_g^{0.50}; \quad (15)$$

- удельная нормальная сила резания

$$P_y = 340 V_3^{0.80} V_c^{1.06} U_{kp.p}^{0.10} Q_g^{0.22}; \quad (16)$$

- шероховатость обработанной поверхности

$$R_a = 2517 V_3^{-0.65} V_c^{-2.12} U_{kp.p}^{-0.50} Q_g^{0.62}; \quad (17)$$

- интенсивность износа круга

$$Q_d = 545 V_3^{-0.19} V_c^{-2.76} U_{kp.p}^{0.09} Q_g^{1.48}; \quad (18)$$

- коэффициент шлифования

$$K_w = 8.9 \cdot 10^{-4} V_3^{0.38} V_c^{2.78} U_{kp.p}^{-0.10} Q_g^{-0.48}. \quad (19)$$

Полученные результаты показывают, что с увеличением объемного содержания пор в круге за счет соответствующего уменьшения объема шлифматериала энергетические показатели шлифования уменьшаются.

Экспериментальные измерения температур при помощи подогрева-  
ственной срезаемой термопары при плоском торцовом шлифовании за-  
каленной стали ШХ15 позволили подтвердить адекватность тепловой  
математической модели.

Микроструктурный анализ поверхностного слоя шлифованной по-  
верхности, а также травление образцов после шлифования позволили  
установить критическую среднюю контактную температуру для стали  
ШХ15, которая находится в пределах 330...350°C. При температуре шли-  
фования более 350°C в поверхностном слое детали появляются измене-  
ния основной структуры металла, сопровождающиеся снижением микро-  
твёрдости. Такие изменения структуры металла на практике именуются  
прижогами (прижог отпуска, прижог вторичной закалки).

Используя найденное значение температурного критерия, на вы-  
числительной машине «Наира-К» был произведен расчет максимальных  
значений объемной подачи  $Q_g$ , обеспечивающих бесприжоговое шли-  
фование стали ШХ15. По результатам расчета построена nomogramma  
интенсивности бесприжогового шлифования стали ШХ15 в зависимости  
от структуры круга (рис.2).

##### 5. МЕТОДИКА РАСЧЕТА СТРУКТУРЫ КРУГА

Задаваясь температурным критерием  $|T_k|$ , начальными, гранич-  
ными и другими условиями шлифования, по формуле (14) рассчитывает-  
ся ряд соотношений параметров структуры круга  $V_3, V_c, V_n$ , отве-  
чающих требованиям бесприжогового шлифования.

Для однозначного определения структуры круга необходимо ввес-  
ти наиболее существенное техническое ограничение, зависящее от  
структуре круга. Таким ограничением может быть допустимая интен-  
сивность размерного износа шлифовального круга  $|\delta_a|$ . Тогда  
оптимальная структура круга, отвечающая заданным температурным и  
стойкостным требованиям, определяется решением относительно системе  
уравнений:

$$\left\{ \begin{array}{l} |T_k| = \frac{8,06(R_{kp} + Z_{kp})}{\lambda R_{kp}(R_{kp} - Z_{kp})} \sqrt{\frac{\Omega(R_{kp} - Z_{kp})}{2\pi V_g}} V_3^{0,87} V_c^{1,40} Q_g^{0,50} U_{kp,n}^{0,60} \\ |\delta_a| = \frac{543 Q_g^{1,48} U_{kp,n}^{0,69}}{9\pi (R_{kp}^2 - Z_{kp}^2) V_3^{0,19} V_c^{2,76}} \end{array} \right.$$

0331446

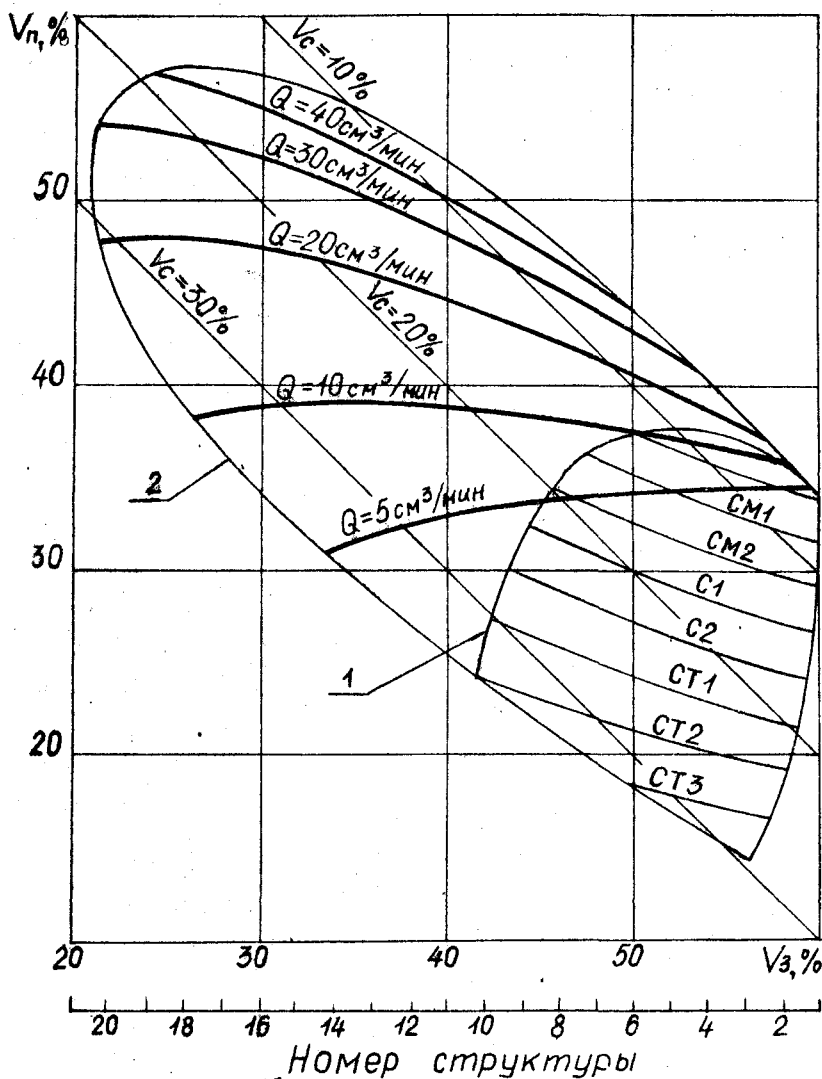


Рис. 2. Номограмма для определения интенсивности беспримкогошлифования  $Q$  стали ШХ15 /HRC 60...65/ в зависимости от структуры круга

Для проверочных расчетов в качестве технических ограничений можно использовать полученные зависимости допустимой (по условию прочности) скорости вращения круга  $|U_{kp}|$ , силы резания  $P_y$  и  $R_a$ , шероховатости обработанной поверхности  $R_a$  от параметров структуры круга и режимов шлифования.

Для обеспечения безопасной работы допустимая скорость вращения круга должна быть не менее рабочей:

$$|U_{kp}| = \frac{3,72 V_3^{0,22} V_c^{0,54}}{\sqrt{1 + \frac{Z_{kp}}{R_{kp}} + \left(\frac{Z_{kp}}{R_{kp}}\right)^2}} \geq |U_{kp,p}|. \quad (21)$$

Мощность шлифования  $N_e$  не должна превышать номинальную мощность двигателя  $N_{gb}$  с учетом к.п.д. привода  $\eta$ , т.е. допустимую мощность шлифования  $|N_e|$ :

$$N_e = \frac{8,06(R_{kp}+Z_{kp})}{2R_{kp}(R_{kp}-Z_{kp})} V_3^{1,06} V_c^{1,4} U_{kp,p} Q_g^{0,6} S_g^{0,5} \leq |N_e|, \quad (22)$$

где  $N_e = N_{gb} \cdot \eta$ ;  $S_g$  - площадь контакта круга с деталью,  $m^2$ .

Проверка по условию жесткости станка осуществляется через допустимую нормальную составляющую силы резания  $|P_y|$ :

$$P_y = 340 V_3^{0,8} V_c^{1,06} U_{kp,p} Q_g^{0,1} S_g^{0,22} \leq |P_y|. \quad (23)$$

Проверка по допустимой шероховатости обработанной поверхности:

$$R_a = \frac{2517 Q_g^{0,62}}{V_3^{0,65} V_c^{2,12} U_{kp,p}^{0,5}} \leq |R_a|. \quad (24)$$

Таким образом, разработанная методика оптимизации структуры круга при плоском торцовом шлифовании позволяет рассчитать структуру круга с учетом основных условий шлифования и технических требований к обрабатываемой детали.

## 6. ПРОИЗВОДСТВЕННЫЕ ИСПЫТАНИЯ И ВНЕДРЕНИЕ

По разработанным рекомендациям на Златоустовском опытном абразивном заводе были изготовлены партии высокопористых шлиф-

вальных кругов на бакелитовой связке К 450x150x250 ряда характеристик. Шлифовальные круги были подвергнуты эксплуатационным испытаниям в производственных условиях ГПЗ-1, ГПЗ-3 и ГПЗ-18 на операциях плоского шлифования торцов колец подшипников.

Всего в процессе испытаний было обработано около 500 тыс. колец подшипников, при этом не было обнаружено ни одного случая прижогов, не было прижога и при увеличении в 1,5 раза подачи деталей, что свидетельствует о высокой режущей способности высокопористых кругов. Стойкость высокопористых кругов до полного износа на 30...40% выше в сравнении с кругами обычных структур за счет стабильного самозатачивания, не требующего промежуточных правок для восстановления режущей способности.

Технология изготовления высокопористых шлифовальных кругов на бакелитовой связке внедрена на Златоустовском опытном абразивном заводе, а процесс шлифования с применением этих кругов - на Московском объединении по производству автоматических линий им. 50-летия СССР и Первом государственном подшипниковом заводе (ГПЗ-1).

Основные технико-экономические показатели внедрения:

- повышение производительности шлифования в 1,5...2 раза;
- полное отсутствие брака по прижогам на деталях;
- снижение стоимости обработки в 2 раза;
- годовой экономический эффект от применения высокопористых кругов только на одном торцешлифовальном автомате 3344П-Ц составляет 21,1 тыс.рублей; эффект на ГПЗ-1 составил 83,7 тыс.рублей.

На основе запросов выше 30-ти машиностроительных предприятий страны составлен и утвержден план расширенного освоения выпуска высокопористых кругов Златоустовским опытным абразивным заводом и внедрения их на операциях торцового шлифования. Согласно этому плану, выпуск высокопористых шлифовальных кругов в 1984 году составит 3000 тонн, а использование их на машиностроительных предприятиях обеспечит народно-хозяйственный годовой экономический эффект в размере 1777,8 тыс.рублей.

#### ОСНОВНЫЕ ВЫВОДЫ

I. Аналитическое исследование временного распределения температуры на поверхности шлифуемой детали в зависимости от структуры круга при торцешлифовании позволило установить, что тепло-

напряженность процесса можно существенно уменьшить путем применения высокопористых шлифовальных кругов.

2. Создание нового способа изготовления высокопористых кругов на бакелитовой связке в сочетании с разработанным способом определения структуры абразивного инструмента позволяют использовать структуру круга в качестве управляемого параметра в процессе плоского торцевого шлифования.

3. Построение математической модели процесса плоского торцевого шлифования, представленной в виде численного решения температурной задачи, учитывающей структуру круга и все основные условия процесса, в сочетании с математически сформулированными техническими ограничениями позволило создать инженерную методику определения структуры круга для беспримкновенного шлифования стали ШХ15.

4. Применение на машиностроительных предприятиях высокопористых кругов с использованием структуры круга в качестве управляемого параметра позволяет повысить качество деталей и производительность процесса плоского торцевого шлифования до 2-х раз.

Основные положения диссертации опубликованы в следующих работах:

1. Суров С.П., Райт В.В. Высокопористые шлифовальные круги на бакелитовой связке для производственного шлифования торцов колец подшипников. - В сб. "Пути повышения производительности, качества и эффективности процессов абразивной, алмазной и эльборной обработки в машиностроении". Тезисы докладов, НИИМАШ, М., 1976, с. 158...160.

2. Суров С.П., Райт В.В., Нечаева Т.Н. и др. Использование кремнийорганических соединений для повышения водостойкости абразивного инструмента на бакелитовой связке. Научн.-техн. реф. сб. "Абразивы", НИИМАШ, М., 1977, № 2, с. 5...7.

3. Райт В.В., Верзаков А.А. Прессформа для формования рифленых шлифовальных кругов типа ПНР. Научн.-техн. реф. сб. "Абразивы", НИИМАШ, М., № 3, 1977, с. 6...7.

4. Райт В.В. Внедрение абразивной обработки вместо фрезерования автомобильных деталей на Волжском автомобильном заводе. Научн.-техн. реф. сб. "Абразивы", НИИМАШ, М., 1978, № 4, с. 17.

5. Райт В.В. Взаимосвязь структуры абразивного инструмента на бакелитовой связке с его твердостью, коэффициентом прессования и удельным усилием прессования. Научн.-техн. реф. сб. "Абразивы", НИИМАШ, М., 1980, № 8, с. 6...8.
6. Райт В.В. Тепловая задача при плоском торцовом шлифовании высокопористыми кругами. - В сб. "Теплофизика технологических процессов". Тезисы докладов. Волгоград, 1980, с. 191.
7. Фадюшин С.А., Райт В.В. Исследование процессов торцевого шлифования высокопористыми кругами. - В сб. "Современный абразивный инструмент и методы повышения эффективности процесса шлифования" (тезисы докладов) Челябинск, 1980, с. 24.
8. Райт В.В. Постановка тепловой задачи при плоском торцовом шлифовании высокопористыми шлифовальными кругами с использованием гидроаэродинамического способа подачи СОЖ. - В сб. "Современный абразивный инструмент и методы повышения эффективности процесса шлифования". (Тезисы докладов) Челябинск, 1980, с. 10...II.
9. Райт В.В. Работоспособность торцевых высокопористых шлифовальных кругов на бакелитовой связке. Э.-И. "Абразивы", НИИМАШ, М., 1981, № 1, с. 13...16.
10. Райт В.В. Способ изготовления абразивного инструмента. Авт. свид. СССР № 686863, - Бюллетень изобретений, 1979, № 35.

**Райт Вальтер Вильгельмович**

**ПОВЫШЕНИЕ ПРОИЗВОДИТЕЛЬНОСТИ ПРОЦЕССА ПЛОСКОГО ТОРЦОВОГО  
ШЛИФОВАНИЯ КРУГАМИ НА БАКЕЛИТОВОЙ СВЯЗКЕ**

**Специальность 05.02.08 - "Технология машиностроения"**

**Техн.редактор Миних А.В.**

---

ФБ 00544. Подписано к печати 21/У-81 г. Форм.бум. 60x90 1/16.  
Объем 1,25 п.л., 1 уч.-изд.л. ЧПИ. Тираж 100 экз. Заказ № 228/607.